

# การออกแบบตัวควบคุมพีไอดีสำหรับควบคุมความเร็วรอบ มอเตอร์ไฟฟ้ากระแสตรงแบบไร้แปรงถ่าน ด้วยวิธีการค้นหาแบบตาบู่เชิงปรับตัว

## The PID Controller Design For Brushless DC Motor Speed Control Using An Adaptive Tabu Search Algorithm

โกศล ชัยเจริญอุดมรุ่ง<sup>1\*</sup>, พีรวัจน์ มีสุข<sup>2</sup>

<sup>1</sup>ภาควิชาเทคโนโลยีวิศวกรรมไฟฟ้า วิทยาลัยเทคโนโลยีอุตสาหกรรม

มหาวิทยาลัยเทคโนโลยีพระจอมเกล้าพระนครเหนือ กรุงเทพมหานคร

<sup>2</sup>สาขาวิชาวิศวกรรมไฟฟ้าเครื่องกลการผลิต คณะวิศวกรรมศาสตร์และเทคโนโลยีอุตสาหกรรม

มหาวิทยาลัยราชภัฏบ้านสมเด็จเจ้าพระยา กรุงเทพมหานคร

\*Corresponding author email: koson.c@cit.kmutnb.ac.th

Received 11 April 2020 Revised 14 May 2020 Accepted 5 June 2020

### บทคัดย่อ

บทความนี้นำเสนอการออกแบบตัวควบคุมพีไอดีสำหรับควบคุมความเร็วรอบมอเตอร์ไฟฟ้ากระแสตรงแบบไร้แปรงถ่าน โดยอาศัยวิธีการค้นหาแบบตาบู่เชิงปรับตัว ซึ่งเป็นหนึ่งในวิธีการทางปัญญาประดิษฐ์ที่มีประสิทธิภาพสำหรับประยุกต์ใช้ในการค้นหาค่าที่เหมาะสม การออกแบบตัวควบคุมดังกล่าวใช้ฟังก์ชันถ่ายโอนของแบบจำลองมอเตอร์ไฟฟ้ากระแสตรงแบบไร้แปรงถ่านเป็นฟังก์ชันวัตถุประสงค์ ผลการออกแบบตัวควบคุม ได้  $K_p = 5.7169$   $K_I = 109.4564$  และ  $K_D = 0.0077$  ผลการจำลองสถานการณ์ระบบมีสมรรถนะการควบคุม ดังนี้  $P.O. = 0\%$   $t_r = 0.0128s$  และ  $t_s = 0.0221s$  นอกจากนี้ยังได้มีการเปรียบเทียบสมรรถนะการควบคุมกับตัวควบคุมที่ได้รับการออกแบบด้วยวิธีการค้นหาแบบการเคลื่อนที่ของกลุ่มอนุภาค การจำลองสถานการณ์แสดงให้เห็นว่าผลตอบสนองตัวควบคุมที่ออกแบบด้วยวิธีที่นำเสนอมีประสิทธิภาพการควบคุมที่ดีกว่าเมื่อเทียบกับตัวควบคุมที่ออกแบบด้วยวิธีการค้นหาแบบการเคลื่อนที่ของกลุ่มอนุภาค

**คำสำคัญ:** มอเตอร์ไฟฟ้ากระแสตรงแบบไร้แปรงถ่าน ตัวควบคุมพีไอดี วิธีการค้นหาแบบตาบู่เชิงปรับตัว

### Abstract

This paper presents the design of PID controllers for speed control of brushless DC motors using the adaptive Tabu search method. This method is one of the artificial intelligence method for applying to find a suitable value. The design of the controller uses the transfer function of the brushless DC electric motor model as an objective function. The controller design results can be  $K_p = 5.7169$   $K_I = 109.4564$  and  $K_D = 0.0077$ . The simulation results show performance of system  $P.O. = 0\%$   $t_r = 0.0128s$  and  $t_s = 0.0221s$ . Moreover, the control performance is compared with the controller designed by the particle swarm optimization method. The results show that the proposed method can efficiently obtain the best performance of the response compared with the particle swarm optimization method.

**Keywords:** brushless DC motor, PID controller, adaptive tabu search

## บทนำ

ในปัจจุบันมอเตอร์ไฟฟ้ากระแสตรงแบบไร้แปรงถ่าน (Brushless DC Motor : BLDC Motor) เป็นมอเตอร์ที่นิยมใช้กันมากในภาคอุตสาหกรรม โดยใช้ในเครื่องมือวัดและเครื่องใช้ไฟฟ้าต่าง ๆ มอเตอร์ BLDC ยังคงรักษาคุณสมบัติของมอเตอร์ไฟฟ้ากระแสตรงแบบมีแปรงถ่าน (Brushed DC Motor) แต่จะไม่ใช้แปรงถ่านในการสับเปลี่ยนกระแส (Commutator) ในขณะที่การสับเปลี่ยนกระแสจะเป็นระบบไฟฟ้าและอิเล็กทรอนิกส์ซึ่งทำให้มีการบำรุงรักษาน้อย และมอเตอร์ชนิดนี้สามารถควบคุมความเร็วได้ง่ายและมีคุณสมบัติที่ดีในการส่งผ่านพลังงานโดยไม่ใช้แปรงถ่านในการส่งผ่านพลังงาน (ทรงกลด ศรีปรารค์ และวันชัย ทรัพย์สิง, 2556)

การควบคุมมอเตอร์ BLDC สามารถทำได้หลายวิธี โดยทั่วไปแล้วนิยมใช้ตัวควบคุมพีไอดี (Proportional Integral Derivative: PID) เพราะโครงสร้างตัวควบคุมมีความเรียบง่ายและมีประสิทธิภาพ อีกทั้งยังมีเสถียรภาพและสามารถทำงานได้ในช่วงกว้าง โดยการออกแบบตัวควบคุมพีไอดีสำหรับควบคุมความเร็วรอบของมอเตอร์ BLDC มีด้วยกันหลายวิธี การออกแบบตัวควบคุมด้วยวิธีแบบดั้งเดิม อาจอาศัยวิธีโลกัสของราก วิธีตอบสนองเชิง

ความถี่ หรือ วิธีการปรับแต่งค่าตามกฎซิกเลอร์-นิโคลส์ การออกแบบบางขั้นตอนของวิธีการเหล่านี้จำเป็นต้องเลือกอาศัยการเลือกค่าจากผู้ออกแบบ ภายหลังจากการออกแบบระบบควบคุมมีผลตอบสนองไม่เป็นที่น่าพอใจ ผู้ออกแบบต้องดำเนินการออกแบบใหม่ นอกจากนี้หากระบบควบคุมมีความซับซ้อนมากก็อาจทำให้มีความยากลำบากในการออกแบบได้ โดยในปัจจุบันได้มีการนำเทคนิคทางปัญญาประดิษฐ์ในการแก้ปัญหา มาประยุกต์ใช้ในการออกแบบตัวควบคุมยกตัวอย่างเช่น การค้นหาด้วยวิธีจีเนติกอัลกอริทึม (Genetic Algorithm: GAs) การค้นหาแบบการเคลื่อนที่ของกลุ่มอนุภาค (Particle Swarm Optimization: PSO) โดยล่าสุดได้มีการนำเสนอการออกแบบด้วยวิธีการค้นหาแบบค้างคาว (ชูเกียรติ คีรี และคณะ, 2562) นอกจากนี้ยังมีวิธีการค้นหาแบบตาบู่เชิงปรับตัว (Adaptive Tabu Search: ATS) (อาทิตย์ ศรีแก้ว, 2552 และ กองพัน อารีรักษ์, 2557) โดยในอดีตได้วิธี ATS ได้ประสบความสำเร็จในการแก้ไขปัญหาทางด้านวิศวกรรมอย่างมาก เช่น การระบุเอกลักษณ์ของระบบ การออกแบบตัวควบคุมวงจรแปลงผันกำลัง (ปราจจรี ประสมศักดิ์, 2553) และอื่น ๆ อีกมากมาย ด้วยข้อได้เปรียบของวิธี ATS ที่สามารถค้นหาหลุดออกจาก

คำตอบที่เหมาะสมที่สุดแบบวงแคบและทำการค้นหาต่อไปจนกระทั่งได้คำตอบที่ใกล้เคียงกับคำตอบที่เหมาะสมที่สุดแบบวงกว้าง ดังนั้น ในบทความนี้จึงนำเสนอการออกแบบตัวควบคุมพีไอดีสำหรับควบคุมความเร็วรอบมอเตอร์ BLDC โดยใช้วิธีการค้นหาแบบตาบู่เชิงปรับตัว นอกจากนี้ยังมีการออกแบบตัวควบคุมด้วยวิธี PSO ซึ่งมีคุณลักษณะคล้ายกับอัลกอริทึม GA เมื่อเปรียบเทียบกันแล้วข้อได้เปรียบของ PSO คือ อัลกอริทึมมีความเรียบง่าย ใช้พารามิเตอร์จำนวนน้อย เพื่อปรับแต่งอัลกอริทึม PSO ถูกนำไปประยุกต์ใช้ในหลากหลายงาน เช่น การหาค่าเหมาะสมที่สุดของฟังก์ชัน การฝึกสอนเครือข่ายประสาทเทียม ระบบควบคุม และงานอื่น ๆ ที่สามารถใช้ GA ได้ (C. Kiree, et al. 2015) ภายหลังจากการออกแบบตัวควบคุมด้วยวิธี PSO ได้นำผลไปเปรียบเทียบกับ การออกแบบด้วยวิธีที่นำเสนอ

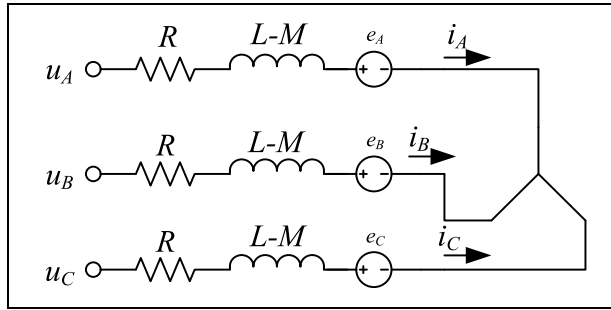
รายละเอียดที่นำเสนอในบทความ ประกอบด้วยส่วนต่าง ๆ ดังนี้ แบบจำลองทางคณิตศาสตร์ของมอเตอร์ไฟฟ้า กระแสตรงแบบไร้แปรงถ่านจะกล่าวในหัวข้อที่ 2 ส่วนในหัวข้อที่ 3 นำเสนออัลกอริทึม

วิธีการค้นหาแบบตาบู่เชิงปรับตัว การออกแบบตัวควบคุมพีไอดีด้วยวิธีการค้นหาแบบตาบู่เชิงปรับตัวและผลการออกแบบนำเสนอในหัวข้อที่ 4 หัวข้อที่ 5 แสดงผลการจำลองสถานการณ์สมรรถนะการควบคุมและสุดท้ายในหัวข้อที่ 6 เป็นการสรุปผล **ทฤษฎีที่เกี่ยวข้อง**

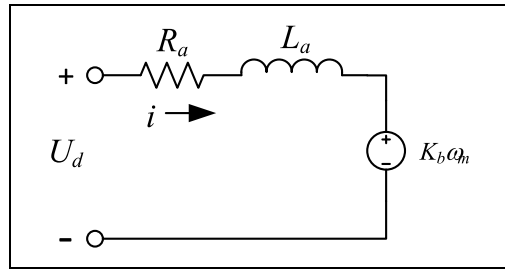
### แบบจำลองของมอเตอร์ไฟฟ้า กระแสตรงแบบไร้แปรงถ่าน

แบบจำลองทางคณิตศาสตร์ของมอเตอร์ไฟฟ้ากระแสตรงแบบไร้แปรงถ่านทั่วไปมีลักษณะคล้ายกับแบบจำลองของมอเตอร์ไฟฟ้ากระแสตรงต่างกันตรงที่มอเตอร์ BLDC (Vinod KR Singh Patel and A. K. Pandey. 2013) ประกอบด้วยเฟสทั้งหมด 3 เฟส กรณีนี้เป็นมอเตอร์ BLDC แบบ 3 เฟส ต่อแบบ Y แสดงได้ดังภาพที่ 1 พิจารณาการทำงานของระบบจะทำงานครึ่งละ 2 เฟส กล่าวคือ AB, BC และ CA โดยควบคุมผ่านการสวิตช์ของอินเวอร์เตอร์ สามารถเขียนให้อยู่ในวงจรมมูลอย่างง่ายได้ดังภาพที่ 2 เมื่อ

$$L_a = L - M \quad \text{และ} \quad e = K_b \omega_m$$



ภาพที่ 1 วงจรสมมูลมอเตอร์ BLDC 3 เฟส ต่อแบบ Y



ภาพที่ 2 วงจรสมมูลอย่างง่ายมอเตอร์ BLDC

จากภาพที่ 2 พิจารณาด้วยกฎผลรวมแรงดันของเคอร์ซอพ KVL สามารถเขียนสมการได้ดังนี้

$$U_d = R_a i + L_a \frac{di}{dt} + K_b \omega_m \quad (1)$$

สำหรับแบบจำลองทางคณิตศาสตร์ของการเคลื่อนที่ของมอเตอร์ อธิบายได้ตามสมการที่ (2)

$$T_e - T_L = J \frac{d\omega_m}{dt} + B_v \omega_m \quad (2)$$

พิจารณาให้  $T_L = 0$  เมื่อ  $T_e = K_T i$  และจัดรูปสมการให้อยู่ในเทอมของกระแส จะได้

$$i = \frac{J}{K_T} \frac{d\omega_m}{dt} + \frac{B_v}{K_T} \omega_m \quad (3)$$

นำสมการที่ (3) แทนในสมการที่ (1) จะได้เป็นสมการที่ (4) และดำเนินการแปลงลาปลาซ(Laplace Transform) สามารถเขียนฟังก์ชันถ่ายโอนของระบบได้ดังสมการที่ (5)

$$U_d = \left( \frac{L_a J}{K_T} \right) \frac{d^2 \omega_m}{dt^2} + \left( \frac{R_a J + L_a B_v}{K_T} \right) \frac{d\omega_m}{dt} + \left( \frac{R_a B_v + K_b K_T}{K_T} \right) \omega_m \quad (4)$$

$$G_u(s) = \frac{\Omega(s)}{U_d(s)} = \frac{K_T}{L_a J s^2 + (R_a J + L_a B_v) s + (R_a B_v + K_b K_T)} \quad (5)$$

โดยที่

$U_d$  คือ แรงดันไฟฟ้าอินพุต (V)

$e_a$  คือ แรงดันเหนี่ยวนำป้อนกลับ (V)

$R_a$  คือ ค่าความต้านทานอาร์เมเจอร์ ( $\Omega$ )

$L_a$  คือ ค่าความเหนี่ยวนำอาร์เมเจอร์ (H)

$J$  คือ ค่าโมเมนต์ความเฉื่อย ( $\text{Kg}\cdot\text{m}^2$ )

$T_L$  คือ ค่าแรงบิดที่โหลด (N.m)

$\omega_m$  คือ ความเร็วเชิงมุมของโรเตอร์ (rad/sec)

$B_v$  คือ ค่าสัมประสิทธิ์แรงเสียดทาน (N.m/(rad/sec))

$K_b$  คือ ค่าสัมประสิทธิ์แรงเคลื่อนไฟฟ้าเหนี่ยวนำป้อนกลับ (V/(rad/sec))

$K_T$  คือ ค่าสัมประสิทธิ์คั้งที่ของแรงบิด (N.m)

$M$  คือ ค่าความเหนี่ยวนำระหว่างเฟส

ฟังก์ชันถ่ายโอนของแบบจำลองมอเตอร์ BLDC ในสมการที่ (5) เป็นระบบอันดับสอง โดยทั่วไปมอเตอร์ BLDC ขับเคลื่อนด้วยแรงดันไฟฟ้าผ่านอินเวอร์เตอร์ที่เป็นชุดขับเคลื่อน เพื่อให้แบบจำลองของระบบมีความสมจริงจึงพิจารณาวงจรขยายของชุดขับเคลื่อนอินเวอร์เตอร์ที่แทนได้ด้วยฟังก์ชันถ่ายโอนอันดับหนึ่งเข้าไป ทำให้สามารถเขียนฟังก์ชันถ่ายโอนของระบบได้ดังสมการที่ (6) โดยที่  $K_A$  คือ ค่าอัตราขยายและ  $\tau_A$  คือ ค่าเวลาคงตัวทางเวลาอัตราขยาย

$$G_p(s) = \left( \frac{K_A}{T_A s + 1} \right) \left( \frac{K_T}{L_a J s^2 + (R_a J + L_a B_v) s + (R_a B_v + K_b K_T)} \right) \quad (6)$$

จากสมการที่ (6) ค่าพารามิเตอร์ของแบบจำลองของมอเตอร์ BLDC ร่วมกับพารามิเตอร์วงจรอินเวอร์เตอร์สามารถหาได้จากวิธีการระบุเอกลักษณ์พารามิเตอร์โดยอาศัยวิธีการค้นหาแบบ BS (ชูเกียรติ ศิริ และคณะ ,2562) เมื่อแทนค่าพารามิเตอร์ทั้งหมดลงในสมการที่ (7) ฟังก์ชันถ่ายโอนของแบบจำลองมอเตอร์ไฟฟ้า BLDC แสดงได้ดังนี้

$$G_p(s) = \frac{0.04887}{5.72 \times 10^{-9} s^3 + 7.233 \times 10^{-6} s^2 + 0.002233 s + 0.04147} \quad (7)$$

### อัลกอริทึมการค้นหาแบบตาม

#### เชิงปรับตัว

การค้นหาแบบตามเชิงปรับตัว (Adaptive Tabu Search: ATS) เป็นอัลกอริทึมที่ถูกพัฒนาขึ้นมาจากการค้นหาแบบตาม (Tabu Search: TS) โดยได้มีการเพิ่ม 2 ขั้นตอนเข้าไป โดยขั้นตอนแรกคือการเดินย้อนรอย (Back tracking) ทำให้มีโอกาสพบคำตอบใหม่และหลุดออกจากคำตอบวงแคบเฉพาะถิ่นได้ ขั้นตอนที่สองคือการปรับรัศมีระหว่างการค้นหา อัลกอริทึม ATS มีขั้นตอนดังต่อไปนี้

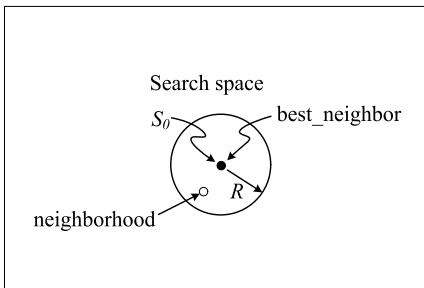
**ขั้นตอนที่ 1** กำหนดพื้นที่การค้นหา  
 รัศมีการค้นหา และจำนวนรอบสูงสุดของ  
 การค้นหา

**ขั้นตอนที่ 2** ทำการสุ่มคำตอบเริ่มต้น  $S_0$   
 ภายในพื้นที่การค้นหา และให้  $S_0$  เป็น  
 คำตอบที่ดีที่สุดแบบวงแคบเฉพาะถิ่น ดัง  
 ภาพที่ 3

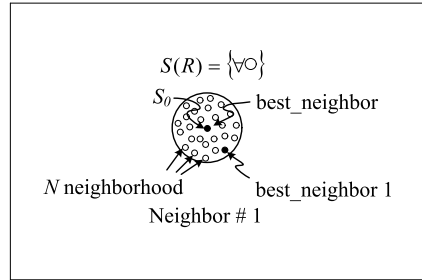
**ขั้นตอนที่ 3** ทำการสุ่มเลือกคำตอบ  
 จำนวน  $N$  คำตอบ รอบ ๆ  $S_0$   
 (neighborhood) ภายในพื้นที่รัศมีการ  
 ค้นหา  $R$  และกำหนดให้เซต  $S(R)$  เป็นเซต  
 ของคำตอบ  $N$  คำตอบ ซึ่งเรียกว่า คำตอบ  
 รอบข้าง ดังภาพที่ 4

**ขั้นตอนที่ 4** ทำการประเมินคำตอบด้วย  
 ฟังก์ชันวัตถุประสงค์ของแต่ละสมาชิกใน  
 $S(R)$  โดยกำหนดให้  $S_1$  เป็นคำตอบที่ดีที่สุด  
 (best neighbor ) ใน  $S(R)$

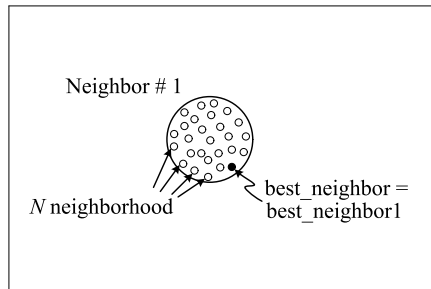
**ขั้นตอนที่ 5** ถ้า  $S_1 < S_0$  ดังนั้น  
 กำหนดให้  $S_0 = S_1$  และเก็บค่า  $S_0$  ในรายการ  
 ตามดังภาพที่ 5 และภาพที่ 6 ตามลำดับ



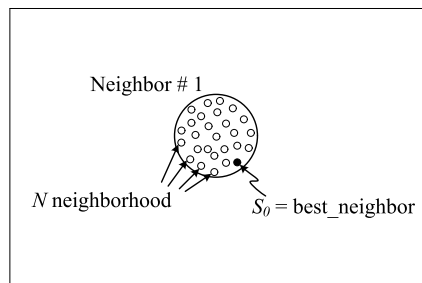
ภาพที่ 3 สุ่มค่า  $S_0$  ในพื้นที่การค้นหา



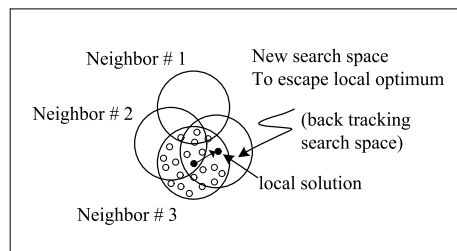
ภาพที่ 4 ค่าใกล้เคียงรอบ ๆ  $S_0$



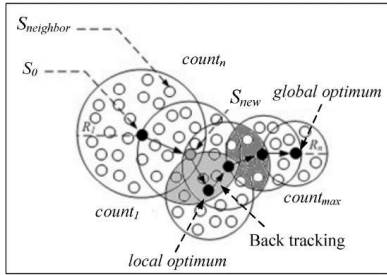
ภาพที่ 5 กำหนดค่าใกล้เคียงใหม่



ภาพที่ 6 กำหนดค่า  $S_0$  ใหม่



ภาพที่ 7 กลไกการเดินย้อนรอย



ภาพที่ 8 กลไกการเดินย้อนรอยและการปรับลดค่ารัศมี

ขั้นตอนที่ 6 ถ้า  $count \geq count_{max}$  จะหยุดกระบวนการการค้นหา โดยที่ค่า  $S_0$  คือคำตอบที่ดีที่สุดไม่เช่นนั้นจะกลับไปสู่ขั้นตอนที่ 3 และเริ่มกระบวนการใหม่อีกครั้งจนกระทั่งได้คำตอบที่พอใจ

ขั้นตอนที่ 7 จะเข้าสู่กลไกการเดินย้อนรอย เมื่อจำนวนคำตอบในแต่ละรอบไม่หลุดออกจากคำตอบที่เป็นวงแคบเฉพาะถิ่นเป็นจำนวนเท่ากับจำนวนคำตอบสูงสุดที่ได้ทำการตั้งค่าไว้ กลไกนี้จะเลือกคำตอบที่ดีที่สุดที่ได้จากการค้นหาในพื้นที่การค้นหาเดิมในรายการตาบูนำมากำหนดเป็นคำตอบเริ่มต้นสำหรับการค้นหาในรอบถัดไป ทั้งนี้เพื่อให้หลุดออกจากคำตอบที่เป็นแบบวงแคบเฉพาะถิ่น ดังภาพที่ 8 ซึ่งใช้ค่า local solution ในรายการตาบูนเป็นค่าเริ่มต้นการค้นหา

ขั้นตอนที่ 8 จะเข้าสู่กลไกการปรับค่ารัศมีการค้นหา โดยจะปรับลดรัศมีลงในระหว่างรอบการค้นหาที่มีความสัมพันธ์ดังสมการที่ (8)

$$radius_{new} = \frac{radius_{old}}{DF} \quad (8)$$

โดยที่  $DF$  คือ ตัวประกอบปรับลดค่ารัศมี (Decreasing Factor)

### การออกแบบตัวควบคุมพีไอดีสำหรับควบคุมความเร็วรอบมอเตอร์ BLDC ด้วยวิธี ATS

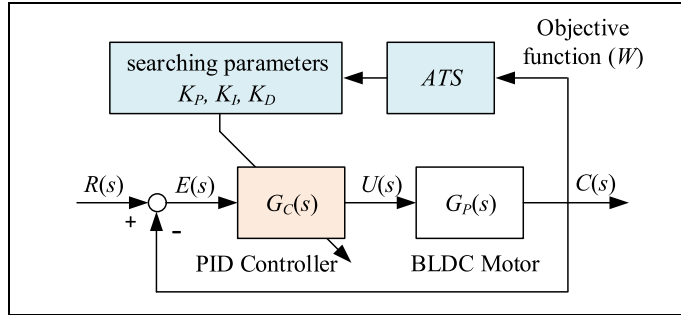
ตัวควบคุมพีไอดีเป็นตัวควบคุมที่มีประสิทธิภาพจึงมีการนำไปใช้งานอย่างแพร่หลาย ฟังก์ชันถ่ายโอนของตัวควบคุมพีไอดีแสดงดังสมการที่ (9) โดยที่  $K_p$  คือ อัตราการปรับสัดส่วนสัญญาณ  $K_i$  คือ อัตราการอินทิเกรตสัญญาณและ  $K_d$  คือ อัตราการอนุพันธ์สัญญาณตามลำดับ พารามิเตอร์ตัวควบคุมทั้งสามที่กระทำกับสัญญาณถูกรวมเข้าด้วยกัน เพื่อปรับปรุงสัญญาณอย่างเหมาะสมสำหรับการควบคุมความเร็วรอบของมอเตอร์ BLDC

$$G_C(s) = K_p + \frac{K_i}{s} + K_d s = \frac{K_d s^2 + K_p s + K_i}{s} \quad (9)$$

แผนภาพบล็อกไดอะแกรมการออกแบบตัวควบคุมพีไอดีด้วยวิธี ATS แสดงดังภาพที่ 9 กระบวนการออกแบบเริ่มต้นจากการกำหนดพารามิเตอร์  $K_p$ ,  $K_i$  และ  $K_d$  ด้วยอัลกอริทึม ATS จากนั้นจำลองสถานการณ์ตรวจสอบสมรรถนะการควบคุมและคำนวณฟังก์ชันวัตถุประสงค์โดยในที่นี้ คือ ค่า  $W$



เป็นตัวชี้วัดคุณภาพของคำตอบในแต่ละรอบ  
ของการค้นหา



ภาพที่ 9 แผนภาพการออกแบบตัวควบคุมพีไอดีด้วยวิธี ATS

ฟังก์ชันวัตถุประสงค์ที่พิจารณาในบทความนี้เป็นฟังก์ชันวัตถุประสงค์แบบหลายตัวแปร (K. Chaijarunudomrung, et al. 2011) ซึ่งสามารถกำหนดนัยสำคัญของผลตอบสนองที่สนใจได้ ฟังก์ชันวัตถุประสงค์  $W$  คำนวณได้จากสมการที่ 10 และสมการที่ 11 ดังนี้

$$W(t_r, t_s, P.O.) = \sigma t_r + \alpha t_s + \gamma P.O. \quad (10)$$

$$\text{และ } \sigma + \alpha + \gamma = 1 \quad (11)$$

โดยที่

$P.O.$  คือ ค่าเปอร์เซ็นต์ฟุงเกิน (%)

$t_r$  คือ ค่าเวลาขึ้น (s)

$t_s$  คือ ค่าเวลาสู่เข้าสภาวะคงตัว (s)

เมื่อ  $\sigma$   $\alpha$  และ  $\gamma$  คือ ค่าถ่วงน้ำหนัก

สำหรับการกำหนดนัยสำคัญของค่า  $P.O.$   $t_r$  และ  $t_s$  ตามลำดับ ซึ่งในบทความนี้กำหนดให้ค่า  $\sigma$   $\alpha$  และ  $\gamma$  มีค่าเท่ากับ 0.33 0.33 และ 0.34 ตามลำดับ อัลกอริทึม

ATS จะดำเนินการค้นหาพารามิเตอร์ตัวควบคุมที่ทำให้  $W$  มีค่าน้อยที่สุด ซึ่งหมายถึงตัวควบคุมที่ได้จาก ATS จะให้ประสิทธิภาพของผลตอบสนองการควบคุมความเร็วรอบมอเตอร์ BLDC ที่ดีที่สุด พารามิเตอร์อัลกอริทึม ATS กำหนดขึ้นจากการทดสอบกลุ่มตัวอย่างทั้งหมด 20 ชุด โดยในบทความนี้เลือกใช้ค่าพารามิเตอร์ของอัลกอริทึม ATS ดังนี้

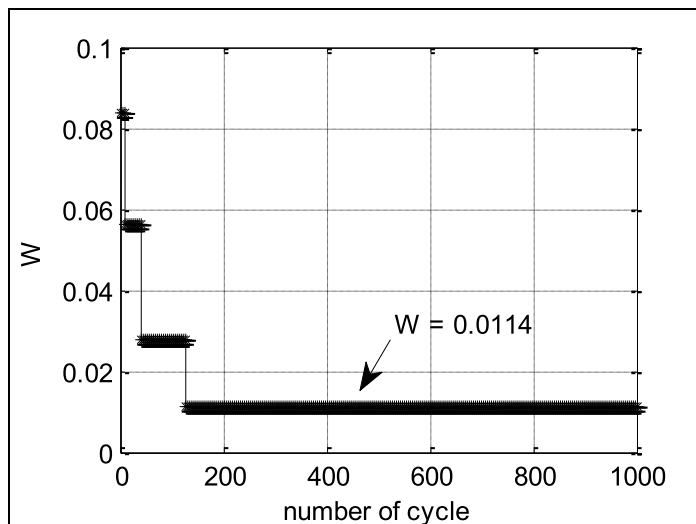
- จำนวนคำตอบเริ่มต้นเท่ากับ 5
- จำนวนคำตอบรอบข้างเท่ากับ 10
- ค่ารัศมีเริ่มต้นการค้นหาเท่ากับ 1
- ค่าตัวประกอบปรับลดรัศมีเท่ากับ 1.3

- เงื่อนไขการเดินย้อนรอย ถ้าไม่สามารถหลุดออกจากคำตอบแบบท้องถิ่นได้เป็นจำนวน 100 รอบการค้นหา
- กำหนดจำนวนรอบการค้นหาสูงสุด 1000 รอบ

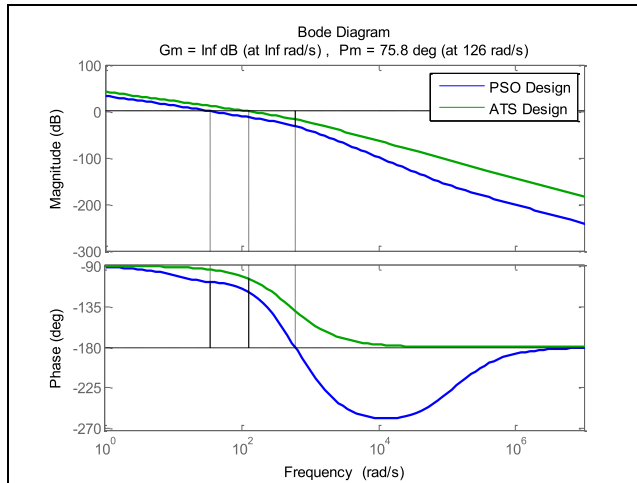
### ผลการศึกษา

กำหนดการค้นหาพารามิเตอร์ตัวควบคุมพีไอดีมีค่า  $K_p$  ขอบเขตอยู่ในช่วง  $[0,10]$   $K_i$  ขอบเขตอยู่ในช่วง  $[0,120]$  และ  $K_d$  ขอบเขตอยู่ในช่วง  $[0,0.1]$  ตามลำดับ ขอบเขตสูงสุดของพารามิเตอร์ตัวควบคุมที่ใช้ในการค้นหาออกแบบให้ที่มีค่า  $G_m$  และ  $P_m$  มากที่สุด โดยที่ระบบ

ยังคงมีเสถียรภาพ นอกจากนี้ยังได้มีการนำวิธีการค้นหาแบบการเคลื่อนที่กลุ่มอนุภาคมาประยุกต์ใช้ภายใต้เงื่อนไขฟังก์ชันวัตถุประสงค์เดียวกัน ภาพที่ 10 แสดงการลู่เข้าค่าน้อยที่สุดของฟังก์ชันวัตถุประสงค์ ( $W$ ) ของอัลกอริทึม ATS ในจำนวนรอบการค้นหาสูงสุด 1000 รอบ ซึ่งพบว่าอัลกอริทึม ATS สามารถหลุดออกจากคำตอบวงแคบเฉพาะถิ่นสู่บริเวณค้นหาที่ได้คำตอบแบบวงกว้างได้ ผลการออกแบบตัวควบคุมด้วยวิธี ATS และ วิธี PSO แสดงดังตารางที่ 1



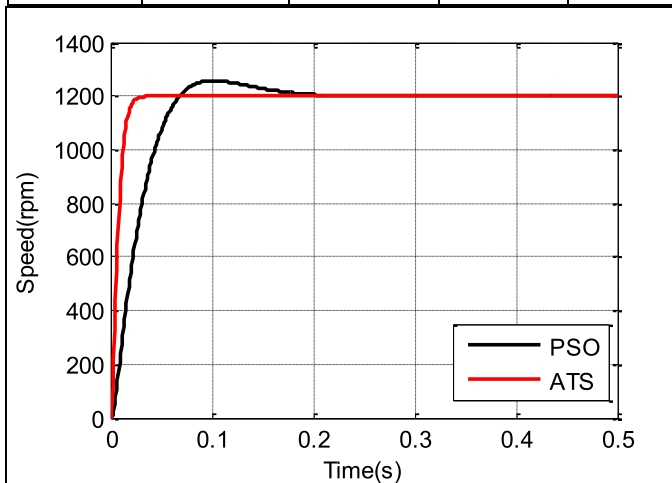
ภาพที่ 10 การลู่เข้าค่าน้อยที่สุดของฟังก์ชันวัตถุประสงค์



ภาพที่ 11 ผลตอบสนองเชิงความถี่ของระบบ

ตารางที่ 1 ผลการออกแบบพารามิเตอร์ตัวควบคุมพีไอดี

วิธีการ ออกแบบ	พารามิเตอร์ตัวควบคุมพีไอดี			W
	$K_p$	$K_I$	$K_D$	
PSO	1.2931	38.63	0.00001	1.6256
ATS	5.7169	109.4564	0.0077	0.0114



ภาพที่ 12 ผลตอบสนองการควบคุมมอเตอร์ BLDC ที่ความเร็วรอบ 1200 rpm

จากพารามิเตอร์ตัวควบคุมที่ได้รับการ  
ออกแบบด้วยวิธี PSO และวิธี ATS ใน  
ตารางที่ 1 นำมาวิเคราะห์ในโดเมนความถี่  
เปรียบเทียบ แสดงได้ดังภาพที่ 11 ซึ่งพบว่าตัว

ควบคุมที่ได้จากวิธี PSO มี  $G_m = 32.1$  dB และ  $P_m = 72.3$  deg ส่วนตัวควบคุมที่ออกแบบด้วยวิธี ATS มี  $G_m = \infty$  dB และ  $P_m = 75.8$  deg ยืนยันได้ว่าพารามิเตอร์ที่ได้รับการออกแบบจากทั้ง 2 วิธียังคงทำให้ระบบมีเสถียรภาพ ซึ่งในขั้นตอนไปเป็นการทดสอบสมรรถนะการควบคุมโดยอาศัยการจำลองสถานการณ์บนคอมพิวเตอร์ด้วยตารางที่ 2 สมรรถนะการควบคุม

วิธีการออกแบบ	ผลการตอบสนองของระบบ		
	$t_r$	$P.O.(%)$	$t_s$
PSO	0.0443	4.72	0.156
ATS	0.0128	0	0.0221

จากตารางที่ 2 แสดงให้เห็นว่าตัวควบคุมพีไอดีที่ได้รับการออกแบบด้วยวิธี ATS มีผลการตอบสนอง  $P.O.$ ,  $t_r$  และ  $t_s$  ดีกว่าตัวควบคุมที่ออกแบบด้วยวิธี PSO

### สรุปผลการศึกษา

บทความนี้นำเสนอการออกแบบตัวควบคุมพีไอดีสำหรับควบคุมความเร็วรอบมอเตอร์ไฟฟ้ากระแสตรงแบบไร้แปรงถ่านด้วยวิธี ATS รายละเอียดฟังก์ชันถ่ายโอนของแบบจำลองของมอเตอร์ BLDC และอัลกอริทึม ATS ได้ถูกอธิบายไว้ด้วย การออกแบบตัวควบคุมใช้ฟังก์ชันวัตถุประสงค์แบบหลายตัวแปรที่คำนวณได้จากผลตอบสนองของฟังก์ชันถ่ายโอนของระบบ ผลการออกแบบตัวควบคุมด้วยวิธี ATS ได้นำไปเปรียบเทียบกับวิธีการออกแบบตัวควบคุม

MATLAB/Simulink กำหนดให้มอเตอร์ BLDC รักษาความเร็วรอบที่ 1,200 rpm ผลการตอบสนองของตัวควบคุมที่ออกแบบด้วยวิธี ATS เปรียบเทียบกับตัวควบคุมที่ออกแบบด้วยวิธี PSO แสดงได้ดังภาพที่ 12 และผลการวิเคราะห์สมรรถนะการควบคุม แสดงดังตารางที่ 2 ตามลำดับ

ด้วยวิธี PSO ผลการจำลองสถานการณ์พบว่า ตัวควบคุมที่ได้รับการออกแบบด้วยวิธี ATS มีสมรรถนะการควบคุมที่ดีกว่าเมื่อเทียบกับตัวควบคุมที่ออกแบบด้วยวิธี PSO แสดงให้เห็นถึงประสิทธิภาพในการค้นหาคำตอบของวิธีการที่นำเสนอ ซึ่งสามารถค้นหาคำตอบที่ใกล้เคียงกับคำตอบที่เหมาะสมที่สุดแบบวงกว้างได้

### กิตติกรรมประกาศ

งานวิจัยนี้สำเร็จลุล่วงไปได้ด้วยดีผู้วิจัยต้องขอขอบคุณวิทยาลัยเทคโนโลยีอุตสาหกรรม มหาวิทยาลัยเทคโนโลยีพระ

จอมเกล้าพระนครเหนือและคณะ  
วิศวกรรมศาสตร์และเทคโนโลยีอุตสาหกรรม

มหาวิทยาลัยราชภัฏบ้านสมเด็จเจ้าพระยา  
ที่ให้การสนับสนุนเป็นอย่างดี

### เอกสารอ้างอิง

- กองพัน อารีรักษ์ (2557). การออกแบบตัวควบคุมแบบเหมาะสมที่สุดสำหรับระบบขับเคลื่อนมอเตอร์เหนี่ยวนำสามเฟสด้วยวิธีการทางปัญญาประดิษฐ์. รายงานการวิจัย วิศวกรรมศาสตร์ มหาวิทยาลัยเทคโนโลยีสุรนารี
- เฉลิมพล เรื่องพัฒนาวิวัฒน์ และ ยุทธนา กันทะพะเยา. (2559). การควบคุมมอเตอร์ไฟฟ้า กระแสตรงไร้แปรงถ่านด้วยไมโครคอนโทรลเลอร์สำหรับจักรยาน สามล้อไฟฟ้า. วารสาร วิศวกรรมศาสตร์ มหาวิทยาลัย-เทคโนโลยีราชมงคลล้านนา. ปีที่ 1 ฉบับที่ 1. 17-22
- ชูเกียรติ ศิริ รัตนา พูลจันทร์ และ ดนุพล คำปัญญา. (2562). การออกแบบตัวควบคุมพีไอดี อย่างเหมาะสมสำหรับควบคุมความเร็วมอเตอร์ไฟฟ้ากระแสตรงแบบไร้แปรงถ่านด้วยการค้นหาแบบคางคาว. การประชุมวิชาการทางวิศวกรรมไฟฟ้า ครั้งที่ 42, 30 ตุลาคม – 1 พฤศจิกายน 2562. ณ โรงแรมเดอะกรีนเนอรี รีสอร์ท เขาใหญ่ จังหวัดนครราชสีมา., 261-264.
- ชูเกียรติ ศิริ โภควินท์ สำราญมาก ประเสริฐ แสงโป้ ญาณวรรณ เก่งถนอมม้า และ ดนุพล คำปัญญา. (2562). การระบุเอกลักษณ์แบบจำลองทางคณิตศาสตร์ของมอเตอร์ไฟฟ้ากระแสตรงแบบไร้แปรงถ่านด้วยการหาค่าเหมาะที่สุดแบบคางคาว. การประชุม วิชาการทางวิศวกรรมไฟฟ้า ครั้งที่ 42 , 30 ตุลาคม – 1 พฤศจิกายน 2562. ณ โรงแรม เดอะกรีนเนอรีรีสอร์ท เขาใหญ่ จังหวัดนครราชสีมา. 265-268.
- ปราจรี ประสมศักดิ์ (2553). การประยุกต์ฟuzzy logic สำหรับการควบคุมวงจรรองกำลังแอก ที่ฟแบบขนาน. วิทยานิพนธ์วิศวกรรมศาสตรมหาบัณฑิต มหาวิทยาลัยเทคโนโลยีสุรนารี
- ทรงกลด ศรีปรารงค์ และ วันชัย ทรัพย์สิง. (2556) การเพิ่มประสิทธิภาพของการควบคุม มอเตอร์กระแสตรงแบบไร้แปรงถ่านโดยการสวิตช์ด้วยวิธีการพัลส์วิธึมอดูเลชันรูปคลื่น ไซน์. วารสารวิทยาศาสตร์และเทคโนโลยี มหาวิทยาลัยมหาสารคาม ปีที่ 32 ฉบับที่ 5 . 584 – 591.
- วิภาวัลย์ นาคทรัพย์ ยงยุทธ นาราชภูร์ พกิจ สุวัฒน์ และ นลินรัตน์ วิศวกิตติ. (2556). การ ควบคุมความเร็วรอบมอเตอร์ไฟฟ้ากระแสตรงโดยใช้การออกแบบตัวควบคุมพีไอที่มีค่า พุ่งเกินน้อยที่สุด. การประชุมวิชาการมหาวิทยาลัยเทคโนโลยีราชมงคลรัตนโกสินทร์ครั้งที่

4 และการประชุมระดับนานาชาติมหาวิทยาลัยเทคโนโลยีรัตนโกสินทร์ ครั้งที่ 1 “การยกระดับงานวิจัยเพื่อขับเคลื่อนเศรษฐกิจและสังคมอย่างยั่งยืน” 26-28 มิถุนายน 2562 ณ โรงแรมรอยัลริเวอร์ กรุงเทพมหานคร. 51 – 60.

สัมฤทธิ์ จันทะนา. (2555). การศึกษาการสันสเทือนทางกลของมอเตอร์กระแสตรงไร้แปรงถ่านในฮาร์ดดิสก์ด้วยวิธีไฟไนท์อิลลิเมนต์. วิทยานิพนธ์วิศวกรรมศาสตรมหาบัณฑิต มหาวิทยาลัยเทคโนโลยีสุรนารี

อาทิตย์ ศรีแก้ว. (2552). ปัญญาเชิงคำนวณ. สำนักวิชาวิศวกรรมศาสตร์ มหาวิทยาลัยเทคโนโลยีสุรนารี

C. Kiree, D. Kumpanya, S. Tunyasrirut and D. Puangdownreong. Application of Particle Swarm Optimization to Identify Model Parameters of BLDC Motor. ANSCSE19, 2015, pp. 84–88

K. Chaijarunudomrung, K-N. Areerak, K-L. Areerak and A. Srikaew. (2011). The controller design of three-phase controlled rectifier using an adaptive tabu search algorithm. The 8th Electrical Engineering/Electronics, Computer, Telecommunications and Information Technology (ECTI) Association of Thailand – Conference, 2011

Vinod KR Singh Patel and A. K. Pandey. (2013). Modeling and performance analysis of PID controlled BLDC motor and different schemes of PWM controlled BLDC motor. International Journal of Scientific and Research Publications, 2013, pp. 141–154